

کنترل غیر خطی با استفاده از روش خطی سازی ورودی خروجی تقریبی برای سیستم گوی و میله

محمد رضا جاحد مطلق^۲
Jahed@sun.iust.ac.ir

سعید قربانی^۱
HIranmanesh@graduate.uk.ac.ir Saeed_Ghorbani@graduate.uk.ac.ir

۱- گروه مهندسی برق ، دانشکده فنی و مهندسی دانشگاه شهید باهنر کرمان

۲- دانشکده کامپیوتر دانشگاه علم و صنعت ایران

چکیده

در این مقاله مسئله کنترل تنظیمی^۱، برای سیستم گوی و میله مورد مطالعه قرار گرفته است. از آن جا که این سیستم دارای درجه نسبی^۲ خوش تعریف نمی باشد، لذا امکان استفاده از روش‌های خطی سازی فیدبک دقیق فراهم نمی باشد، با وجود این، روش خطی سازی تقریبی را می توان در یک ناحیه محدود از دامنه کار سیستم مورد استفاده قرار داد.

کلمات کلیدی: کنترل تنظیمی، خطی سازی ورودی- خروجی دقیق، خطی سازی تقریبی

۱- مقدمه

استفاده از روش‌های هندسه دیفرانسیل^۳، در تجزیه و تحلیل مسائل مر بوط به روش‌های طراحی خطی سازی فیدبک حالت و خطی ساز فیدبک ورودی- خروجی و مفاهیمی نظری فرم نرمال و دینامیک صفر ، در سالهای گذشته به اندازه کافی رشد پیدا کرده است. شرایط لازم و کافی برای این که یک سیستم خطی پذیر حالت کامل یا خطی پذیر ورودی- خروجی باشد، همواره مشخص و معین است. بدست آوردن شرایطی که با وجود عدم برقراری شرایط لازم برای استفاده از این روشها، بتوان آنها را با یک سری اصلاحات مورد استفاده قرار داد، امروزه به عنوان یک موضوع تحقیقاتی مطرح است. این مقاله روش‌های خطی سازی تقریبی، سیستم‌های تک خروجی که دارای تاریخچه طولانی است، را مورد بررسی قرار داده است. این روش در ابتدا با خطی سازی ژاکوبین آغاز شده و با خطی سازی توسعه یافته [۷] و خطی سازی مجازی [۸] ادامه یافته است. روش ارائه در این مقاله به طور مشخص در مورد مسائل کنترلی که هدف دنبال کردن^۴ سیگنال فرمان ورودی می باشد عملکرد بهتری نسبت به سایر روش‌های خطی سازی از خود نشان می دهد، مهمترین ویژگی این روش این است که سیستم نه به یک سیستم خطی، و نه یک خانواده از سیستم‌های خطی، بلکه به یک سیستم غیر خطی که خطی ساز ورودی- خروجی است تقریب زده می شود.

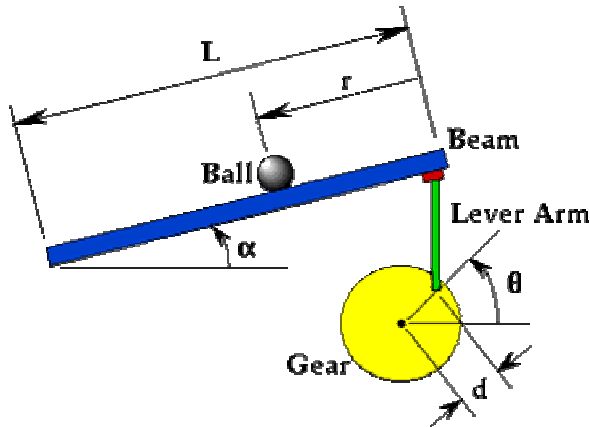
^۱ Regulation Control

^۲ Relative Degree

^۳ Differential Geometric Techniques

^۴ Tracking

۲- سیستم گوی و میله:



شکل (۱)

در این قسمت، هدف بررسی رفتار سیستم گوی و میله می باشد. این سیستم به عنوان یک مدل پر استفاده در آزمایشگاههای کنترل جهت تست کنترل کننده ها مورد استفاده قرار می گیرد. این سیستم از یک میله که به طور متقارن حول تکیه گاه خود توسط یک گشتاور اعمالی دوران دارد، به همراه یک گوی که بر روی میله می لغزد تشکیل شده است. با فرض این که سطح لغزش گوی بر روی میله بدون اصطکاک است، میله می تواند به طور کامل در صفحه قائم بدون اینکه گوی تماس خود را با میله از دست بدهد دوران کند.

هدف اصلی، کنترل موقعیت گوی بر میله می باشد. ولی علاوه بر کنترل گوی در یک نقطه مشخص ما علاقمندیم که گوی توانایی دنبال کردن یک مسیر مشخص را نیز داشته باشد.

در این قسمت ابتدا معادلات حرکت برای سیستم گوی و میله بدست آورده می شود. سپس روش های خطی سازی و رودی - خروجی و خطی سازی حالت کامل بیان می شود و همچنین امکان استفاده از این روشها برای سیستم گوی و میله مورد بررسی قرار می گیرد.

۱-۲- دینامیک ها

سیستم گوی و میله (ball and beam) در شکل (۱) نشان داده شده است. ممان اینرسی میله برابر J ، جرم گوی برابر M و شتاب جاذبه زمین برابر G می باشد. با انتخاب متغیرهای θ (زاویه میله) و r (موقعیت گوی) به عنوان دینامیکهای سیستم معادلات لاغرانژ حرکت به صورت زیر خواهد بود.

$$\begin{aligned} \theta &= \ddot{r} + G \sin \theta - r \dot{\theta}^2 \\ \tau &= (Mr^2 + J)\ddot{\theta} + 2Mr\dot{r}\dot{\theta} + MGr \cos \theta \end{aligned} \quad (1)$$

که τ گشتاور اعمال شده به میله می باشد و نیرویی وارد به گوی صفرمی باشد. با استفاده از یک تبدیل معکوس پذیر عبارت زیر بدست می آید.

$$\tau = 2Mr\dot{\theta} + MGr \cos \theta + (Mr^2 + J)u \quad (2)$$

فرم فضای حالتی معادلات فوق به صورت زیر می باشد.

$$\begin{bmatrix} \dot{x}_1 \\ \dot{x}_2 \\ \dot{x}_3 \\ \dot{x}_4 \end{bmatrix} = \underbrace{\begin{bmatrix} x_2 \\ x_1 x_4^2 - G \sin x_3 \\ x_4 \\ 0 \end{bmatrix}}_{f(x)} + \underbrace{\begin{bmatrix} 0 \\ 0 \\ 0 \\ 1 \end{bmatrix}}_{g(x)} u$$

$y = x_1$
 $\dot{y} = x_2$

(۳)

که $x = (x_1, x_2, x_3, x_4)^T := (r, r, \theta, \theta)^T$ نشان دهنده متغیرهای حالت و $y = b(x) := r$ خروجی سیستم را نشان می دهد.
همچنین معادله (۲) یک تبدیل ورودی غیر خطی می باشد.

۲-۲- خطی سازی ورودی خروجی دقیق^۱

همواره مطلوب این است که خروجی سیستم $y(t)$ یک مسیر مشخصی نظیر $y_d(t)$ را دنبال کند، به عبارت دیگر

$$t \longrightarrow \infty \quad y(t) \longrightarrow y_d(t)$$

برای این منظور باید پاسخ سیستم خطی ورودی خروجی دقیق بدست آورده شود. روش کار به این صورت می باشد که از معادله خروجی، حداقل تا مرتبه سیستم مشتق گرفته، تا ورودی در معادلات ظاهر شود.

$$\begin{aligned} y &= x_1, \\ \dot{y} &= x_2, \\ \ddot{y} &= x_1 x_4^2 - G \sin x_3, \\ y^{(3)} &= \underbrace{x_2 x_4^2 - G x_4 \cos x_3}_{b(x)} + \underbrace{2 x_2 x_4 u}_{a(x)} \end{aligned} \quad (4)$$

حال اگر چنانچه ضریب u یعنی $a(x)$ ، در ناحیه موردنظر ما مخالف صفر باشد، می توان با استفاده از یک قانون کنترل به فرم زیر

$$u = \frac{1}{a(x)} [-b(x) + v] \quad (5)$$

به یک سیستم ورودی- خروجی خطی شده به شکل زیر بررسیم.

$$y^3 = v \quad (6)$$

ولی برای سیستم گوی و میله ضریب ورودی کنترل یعنی $a(x)$ هرگاه سرعت زاویه ای یعنی $\dot{\theta} = x_4$ و یا موقعیت گوی $x_1 = r$ صفر شوند، برابر صفر خواهد شد. بنابراین درجه نسبی سیستم گوی و میله خوش تعریف نمی باشد. و این امر ناشی از این حقیقت است که رابطه زیر

$$L_g L_f^2 h(x) = 2 x_1 x_4 \quad (7)$$

برای $x = 0$ (نقطه تعادل سیستم بدون ورودی) در رابطه برابر صفر می شود در حالی که در همسایگی آن مخالف صفر می باشد. بنابراین روش خطی سازی ورودی خروجی دقیق نمی تواند به عنوان یک روش طراحی کنترل، دنبال کننده مسیر، مورد استفاده قرار بگیرد.

۳-۲- خطی سازی کامل حالت^۱

در این قسمت خطی سازی کامل حالات سیستم گوی و میله، یعنی پیدا کردن یک مجموعه تبدیل معکوس پذیر و ورودی جدید، به طوری که رفتار ورودی - حالت سیستم تبدیل شده، خطی باشد بررسی می شود.

شرایط لازم و کافی برای رسیدن به این منظور توسط Jakubczykzyk ، Respondek و Meyer Hunt.Su. [۴] بیان شده است. در ابتدا بعد مجموعه میدان های برداری ^۲ زیرجهت کنترل پذیری تست می شود.

$$\text{span}\{g, ad_f g, \dots, ad_f^{n-1} g\} \quad (8)$$

که عبارت از لایبرکت^۳ مجموعه زیر می باشد.

$$[f, [f, \dots, [f, g]]] \quad (9)$$

از آن جا که ماتریس

$$Q(x) = \begin{bmatrix} 0 & 0 & 2x_1x_4 & 4x_2x_4 + G \cos x_3 \\ 0 & -2x_1x_4 & -2x_1x_4 - G \cos x_3 & -4x_1x_4^3 + 3Gx_4 \cos x_3 \\ 0 & -1 & 0 & 0 \\ 1 & 0 & 0 & 0 \end{bmatrix} \quad (10)$$

در $x = 0$ دارای بعد کامل می باشد، لذا می توان نتیجه گرفت که سیستم گوی و میله به طور محلی کنترل پذیر است. شرط دومی که می بایست تست شود، اینولوتیو بودن^۴ مجموعه زیر می باشد.

$$\text{span}\{g, ad_f g, \dots, ad_f^{n-2} g\} \quad (11)$$

از آن جا که شرط اینولوتیو بودن برای مجموعه فوق برقرار نمی باشد، روش خطی سازی کامل حالت را نمی توان برای سیستم گوی و میله مورد استفاده قرار داد.

۴-۲- خطی سازی ورودی - خروجی تقریبی^۵

در این قسمت نشان داده می شود که با انتخاب مناسب میدان های برداری نزدیک به میدان های برداری سیستم گوی و میله می توان یک قانون کنترل برای رسیدن به یک خطای دنبال کردن خروجی مرزی طراحی کرد. قانون کنترل در حقیقت یک قانون کنترل دنبال کردن خروجی به شکل دقیق برای سیستم تقریبی تعریف شده توسط میدان های برداری می باشد.

در حالت ایده آل مطلوبست که یک قانون کنترل فیدبک حالت به شکل $v = \alpha(x)u + \beta(x)v$ سیستم گوی و میله را به یک سیستم خطی به شکل y^4 تبدیل کند، به طوری که سیستم تبدیل شده یک مسیر مشخص نظری (y_d) را به طور مجازی با یک قانون کنترل به فرم زیر دنبال کند.

$$v = y_d^{(4)}(t) + a_3(y_d^{(3)}(t) - y^{(3)}(t)) + a_2(\ddot{y}_d(t) - \ddot{y}(t)) + a_1(\dot{y}_d(t) - \dot{y}(t)) + a_0(y_d(t) - y(t)) \quad (12)$$

همچنان که معادلات بالا نشان می دهد پاسخ ورودی - خروجی سیستم گوی و میله نمی تواند به طور دقیق به علت وجود ترم غیر خطی $r(\theta)^2 = x_1x_4^2$ ، خطی شود. در اینجا سعی می شود یک سیستم خطی پذیر ورودی - خروجی نزدیک به

^۱ Full State Linearization

^۲ Vector Field

^۳ Lie Braket

^۴Involutive

^۵Approximate Input-Output Linearization

سیستم اصلی بدست آید. با استفاده از دو روش مختلف، دو سیستم تقریبی برای سیستم گوی و میله بدست می‌آید. در هر دو روش توسط یک تبدیل غیر خطی از حالات و یک قانون فیدبک حالت به شکل $v = \alpha(x) + \beta(x)$ ، سیستم به یک سیستم مرکب از زنجیره‌ای از انتگرال‌گیرها که توسط یک ترم مرتبه بالا یعنی $(x, v)^{\psi}$ منحرف شده، تبدیل می‌شود (فرم کانونیکال برونسکی).

دنبال کننده تقریبی برای هر دو روش با انتخاب v به فرم زیر قابل دستیابی است.

$$v = y_d^{(4)}(t) + a_3(y_d^{(3)}(t) - \phi_4(t)) + a_2(\dot{y}_d(t) - \phi_3(t)) + a_1(y_d(t) - \phi_1(t)) \quad (13)$$

که یک سیستم خطی پایدار مجانبی، منحرف شده توسط یک ترم غیر خطی را نتیجه می‌دهد. برای هر دو روش تقریب سیستم در محیط MATLAB شبیه‌سازی شده و نتایج حاصل از آن ارائه گردیده است.

۲-۴-۱- تقریب ۱ (تغییر میدان برداری f):

از آن جا که ترم شتاب گریز از مرکز $x_1 x_4^2 = r(\theta)^2$ باعث می‌شود، که سیستم دارای درجه نسبی خوش تعریف نباشد. اولین روش طراحی تقریبی بر مبنای حذف شتاب گریز از مرکز می‌باشد. فرض کنید که $\phi_1(x) = h(x)$ در این صورت معادلات بر مبنای متغیر جدید به صورت زیر خواهد بود.

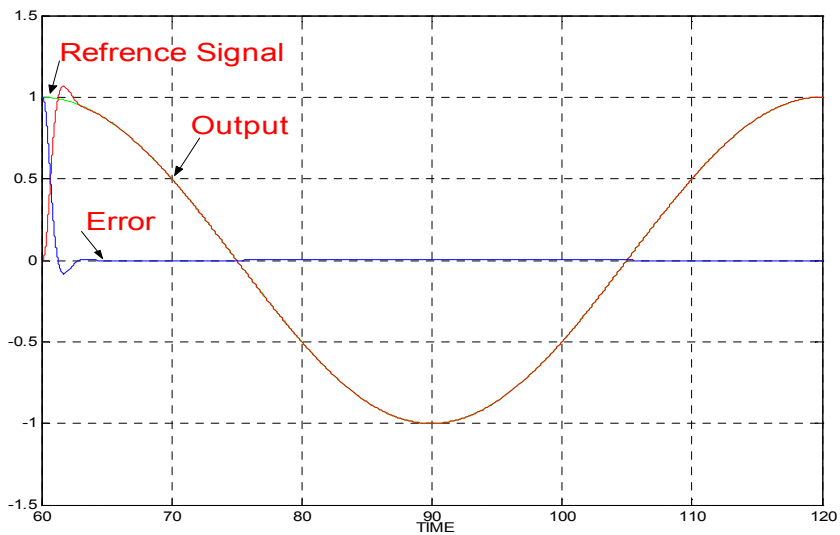
$$\begin{aligned} \dot{\xi}_1 &= \frac{x_2}{\xi_2 = \phi_2(x)} & \dot{\xi}_1 &= \xi_2 \\ \dot{\xi}_2 &= -G \sin x_3 + \frac{x_1 x_4^2}{\xi_3 = \phi_3(x)} & \text{or} & \dot{\xi}_2 = \xi_3 + \psi_2(x) \\ \dot{\xi}_3 &= -G x_4 \cos x_3 & \dot{\xi}_3 &= \xi_4 \\ \dot{\xi}_4 &= -\underbrace{G x_4^2 \sin x_3}_{b(x)} \underbrace{(-G \cos x_3)}_{a(x)} u & \dot{\xi}_4 &= b(x) + a(x)u =: v(x, u). \end{aligned} \quad (14)$$

اکنون با صرفنظر از ترم شتاب گریز از مرکز (که دارای مرتبه بالا می‌باشد)، یک سیستم تقریبی با درجه نسبی خوش تعریف بدست می‌آید. البته انتخاب ترم حذف شونده، وابسته به مشخص کردن تبدیل معکوس پذیر $\phi(x)$ می‌باشد.

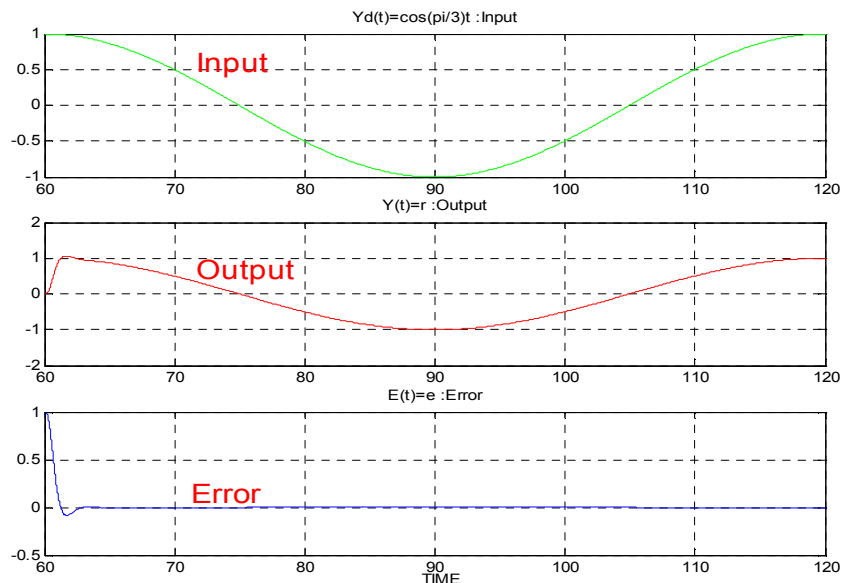
۲-۴-۲- شبیه‌سازی تقریب نوع ۱

نتایج شبیه‌سازی نشان می‌دهد که سیستم حلقه بسته رفتار مطلوبی در دنبال کردن مسیر از خود نشان می‌دهد. با افزایش دامنه مسیر مطلوب؛ خطای دنبال کردن نیازافزايش می‌یابد و این حالت نیز به دلیل این که ترم غیر خطی حذف شده یکتابع غیر خطی از حالات می‌باشد قابل پیش‌بینی می‌باشد. شکل (۳) اثر افزایش دامنه سیگنال مرجع را بروی خطای دنبال کردن نشان می‌دهد همچنان که مشاهده می‌شود افزایش دامنه سیگنال مرجع منجر به افزایش خطای دنبال کردن می‌شود.

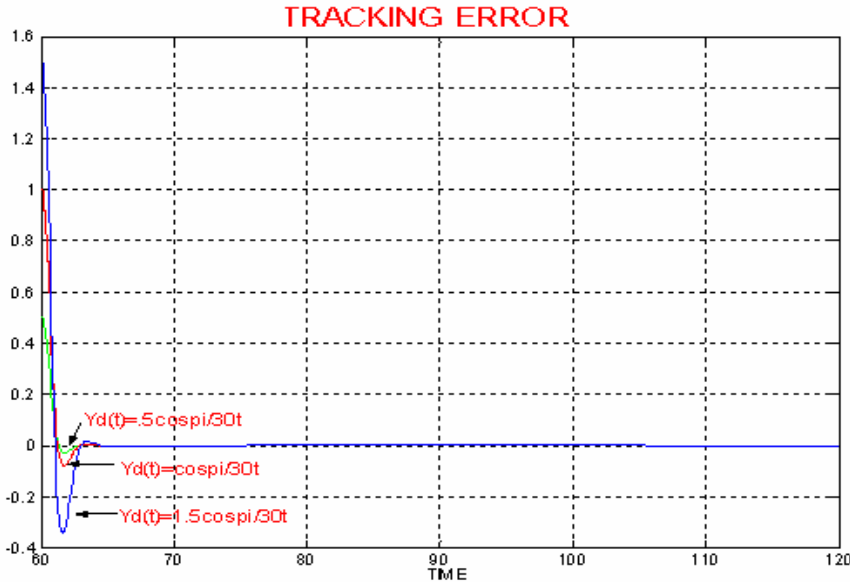
^۱ Vector Field



شکل (۱) سیگنالهای ورودی ، خروجی ، خطأ با استفاده از روش تقریب نوع ۱



شکل (۲) سیگنالهای ورودی ، خروجی ، خطأ به ترتیب با استفاده از روش تقریب نوع ۱



شکل(۳) مقایسه سیگنالهای خطای دنبال کردن با استفاده از تقریب نوع ۱ و دامنه های ورودی متفاوت

۴-۳-۲- تقریب ۲ (تغییرمیدان برداری g)

برای این تقریب شتاب گریز از مرکز حفظ شده و از ترم هایی که باعث می شوند یک سیستم با درجه نسبی خوش تعريف بددست آید، صرفنظرمی شود. به عبارت دیگر میدان برداری g تغییرداده می شود. با فرض این که $\phi_1(x) = h(x)$ باشد معادلات سیستم تبدیل شده به صورت زیر خواهد بود.

$$\begin{aligned}
 \dot{\xi}_1 &= \frac{x_2}{\xi_2 = \phi_2(x)} & \dot{\xi}_1 &= \xi_2 \\
 \dot{\xi}_2 &= -G \sin x_3 + \underbrace{x_1 x_4^2}_{\xi_3 = \phi_3(x)} & \text{or} & \dot{\xi}_2 = \xi_3 + \psi_2(x) \\
 \dot{\xi}_3 &= -G x_4 \cos x_3 + \underbrace{x_2 x_4^2}_{\xi_4 = \phi_4(x)} + \underbrace{2x_2 x_4 u}_{\psi_3(x,u)} & \dot{\xi}_3 &= \xi_4 \\
 \dot{\xi}_4 &= \underbrace{x_1 x_4^4}_{b(x)} + \underbrace{(-G \cos x_3 + 2x_2 x_4)u}_{a(x)} & \dot{\xi}_4 &= b(x) + a(x)u =: v(x,u).
 \end{aligned} \tag{15}$$

در اینحالت هیچ انتخابی برای حذف کردن نداریم، زیرا $\psi_3(x,u) = 2x_2 x_4 u$ در $x=0$ برابر صفر است، ولی در همسایگی $x=0$ مخالف صفر است. در این حالت ψ_2 و ϕ_1 نمی توانند به طور منحصر به فرد تعیین شوند. زیرا عبارت $x_2 x_4^2$ می تواند در ψ_3 نسبت به ϕ_4 بهتر مورد استفاده قرار می گیرد.

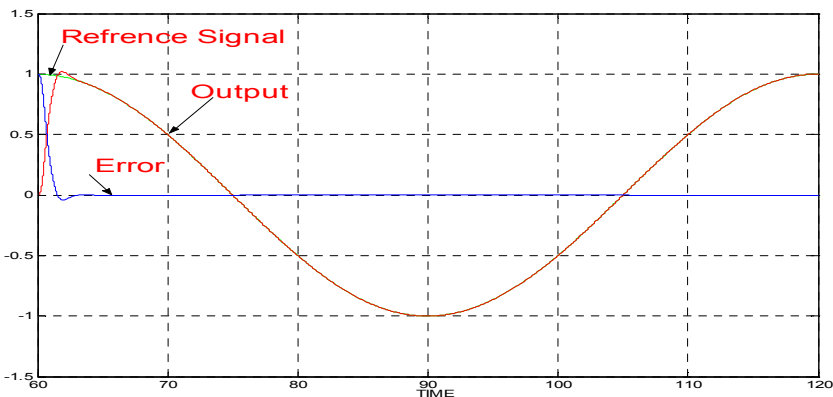
در این روش سیستم تقریب زده شده با تغییر میدان برداری g بددست می آید. با تغییر میدان برداری g (با صرفنظر از (x,u) و با استفاده از ورودی u ، رابطه زیر بددست می آید).

$$\begin{bmatrix} 0 \\ 0 \\ 0 \\ 1 \end{bmatrix} + \begin{bmatrix} 0 \\ 0 \\ \frac{2Gx_1x_4 \cos x_3 - 4x_1x_2x_4^2}{G(G \cos^2 x_3 - 2x_2x_4 \cos x_3 - x_1x_4^2 \sin x_3)} \\ \frac{2x_1x_4^2 \sin x_3}{G(G \cos^2 x_3 - 2x_2x_4 \cos x_3 - x_1x_4^2 \sin x_3)} \end{bmatrix} \Delta g(x) \quad (16)$$

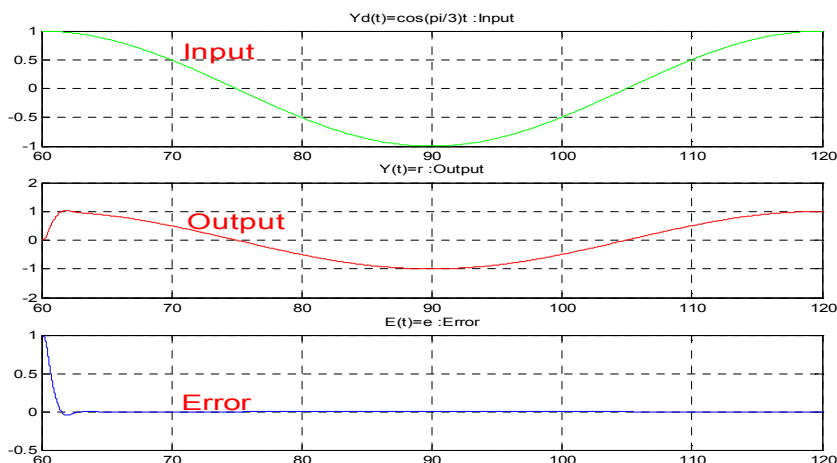
سیستم بدست آمده یک تقریب مناسب برای سیستم اصلی می باشد زیرا Δg برای مقادیر کوچک سرعت زاویه ای $\theta = x_4$ به اندازه کافی کوچک می باشد.

۴-۴-۲- شبیه سازی تقریب ۲:

نتایج شبیه سازی نشان می دهد که خطای دنبال کردن این روش به مراتب کمتر از روش ابتدایی می باشد بنابراین در برخی از موارد تقریب دوم نسبت به تقریب اول نزدیکتر به سیستم اصلی است.



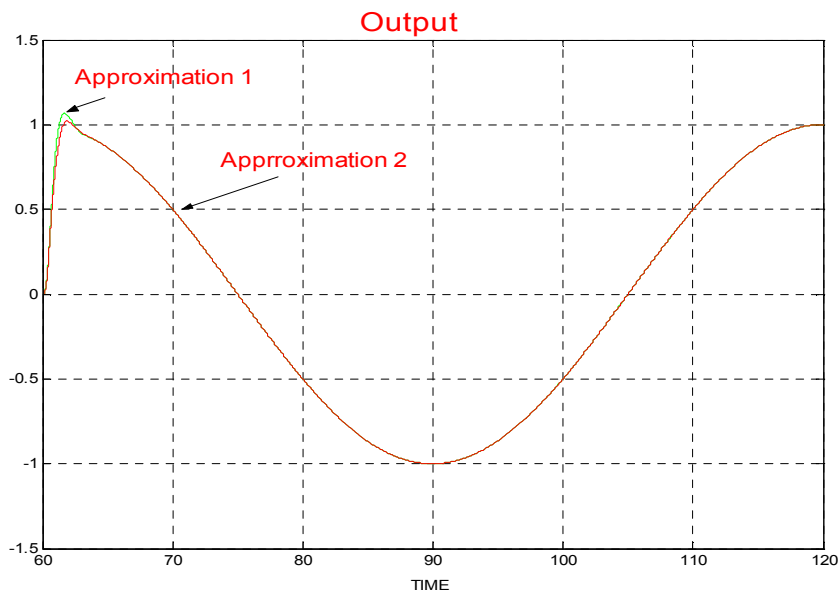
شکل(۴) سگنالهای ورودی ، خروجی ، خطأ با استفاده از روش تقریب ۲



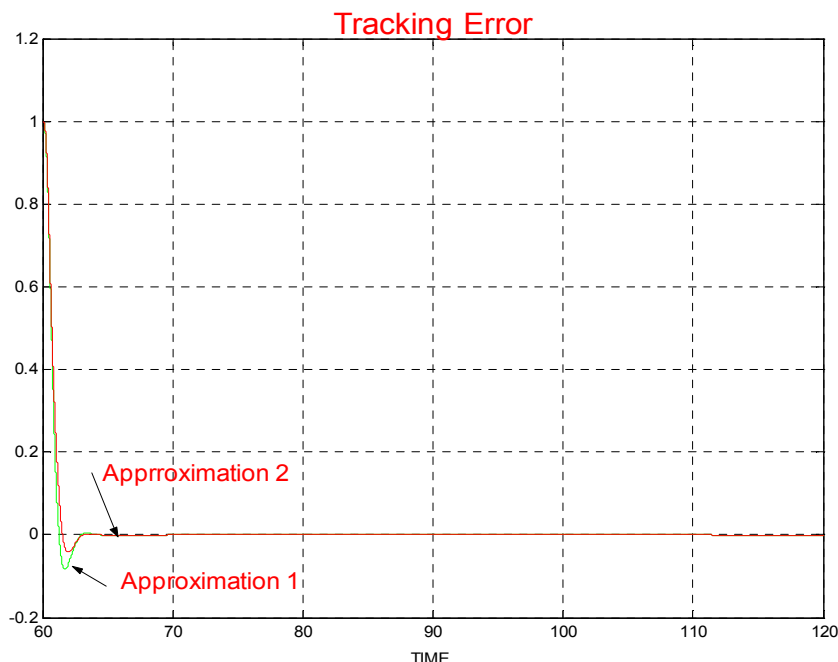
شکل(۵) سیگنالهای ورودی ، خروجی ، خطأ به ترتیب با استفاده از تقریب ۲

۴-۵-۲- مقایسه تقریب نوع ۱ و ۲

با رسم شکل موج های خروجی و نیز خطای دنبال کردن در شکل های (۵) و (۶) مشاهده می گردد، که تقریب نوع ۲، خطای دنبال کردن کمتری نسبت به تقریب نوع ۱ از خود نشان می دهد.



شکل(۶) مقایسه سیگنالهای خروجی با استفاده از تقریب نوع ۱ و نوع ۲



شکل(۷) مقایسه سیگنالهای خطای دنبال کردن با استفاده از تقریب نوع ۱ و نوع ۲

۳- نتیجه گیری

در این مقاله یک روش خطی سازی ورودی - خروجی تقریبی ، برای سیستم های غیر خطی به ویژه آن دسته از سیستم های غیر خطی که دارای درجه نسبی خوش تعریف نمی باشند، معرفی شد. نتایج شبیه سازی نشان داد که در انتخاب نوع تقریب به اندازه کافی آزادی انتخاب داریم. همچنین بر مبنای روش خطی سازی ورودی خروجی تقریبی ، یک دنبال کننده مسیر مطلوب با خطای دنبال کردن طراحی شد. سیستم تقریبی بدست آمده ، نیز یک سیستم غیر خطی می باشد، با این تفاوت که این سیستم غیرخطی ، خطی ساز ورودی خروجی به وسیله فیدبک حالت می باشد. همچنین برخی از خواص دقت این روش بروی سیستم گوی و میله نیز نشان داده شد.

مراجع :

[

[۱] Osvaldo J.Roias ,Graham C.Goodwin ,”Preliminary Analysis of a Nonlinear Control Scheme related to Feedback Linearization”. Proceeding of ۴. th IEEE Conference on Decision and Control Orlando,Florida USA,December ۲۰۰۱.

[۲] Sung Jun Joo and Jin H. Seo,” Design and Analysis of the Nonlinear Feedback Linearizing Control for an Electromagnetic Suspension System”, IEEE Transaction on Control Systems Technology,vol. ۵ no. ۱, January ۱۹۹۷

[۳] J.Hauser, S.Sastry and P.Kokotovic,”Nonlinear Control via Approximate Input-Output Linearization:the Ball and Beam Example”, Proceeding of the ۲۸th Conference on Decision and Control Tamps,Florida, December ۱۹۸۹.

[۴] Y.Guo , D.J.Hill and Z.P. Jiang,”Global Nonlinear Control of the Ball and Beam System”. Proceeding of the ۳۵th Conference on Decision and Control Tamps,Florida, December ۱۹۹۶.

[۵] C.I. Byners and A.Isodori,”Local stabilization of minimum-phase nonlinear systems ” ,System and Control Letter ۱۱ (۱۹۸۹).

[۶] J.J.E. Slotine,”Sliding controller design for non-linear system”. International Journal of Control, ۴۰, ۴۲۱- ۴۴۴.

[۷] J. -J.E. Slotine and W.Li, “*Applied Nonlinear Control* “.Englewood Cliffs,NJ:Prentice- Hall.

[۸] A.J. Kreuer, “Approximate Linearization by state feedback and coordinate change” Sysystems and Control Letters ۵ (۱۹۸۴) ۱۸۱-۱۸۵.

[۹] C.Reboulet and C.Champetier, “A new method for linearizing non-linear systems: the pseudolinearization” International Journal of Control ۴۰ (۱۹۸۴) ۶۳۱-۶۳۹.